

Relatório

Gabriel Renato

Agosto 2020

1 Modelo matemático

Equações matemáticas que serão utilizadas como base para simular o comportamento do bicóptero.

A dinâmica do veículo em torno do ângulo θ_4 pode ser representada do seguinte modo:

$$a\ddot{\theta}_4(t) + b\dot{\theta}_4(t) + c\theta_4(t) = L_1 f_1(t) - L_2 f_2(t) \quad (1)$$

$$\ddot{f}_i(t) + p\dot{f}_i(t) + qf_i(t) = r(u_i(t)), \quad i = 1, 2 \quad (2)$$

em que f_1 e f_2 são as forças de empuxo geradas nos motores 1 e 2, respectivamente. As variáveis de entrada u_1 e u_2 são os ciclos ativos dos sinais PWM fornecidos aos motores.

As constantes presentes em (1) e (2) são definidas na Tabela 1.

Símbolo	Descrição	Valor	Unidade
a	Momento de inércia	0.0187	$kg \cdot m^2$
b	Coefficiente de atrito dinâmico	0.0495	$kg \cdot m^2/s$
c	Desalinhamento ($C_g - CIR$)	0.6925	$kg \cdot m^2/s^2$
L_1	Comprimento do braço esquerdo	0.225	m
L_2	Comprimento do braço direito	0.215	m
p	Coefficiente determinado experimentalmente	5.348	-
q	Coefficiente determinado experimentalmente	13.43	-
r	Coefficiente determinado experimentalmente	1.319	-

Table 1: Constantes presentes nas equações (1) e (2)

2 Controlador

Nessa seção será descrito o controlador projetado para controlar a posição angular θ_4 .

2.1 MPC

2.1.1 Modelo no espaço de estados a tempo contínuo

- Estados:

- $x_1 = \theta_4$: Posição angular
- $x_2 = \dot{\theta}_4$: Velocidade angular
- Variáveis manipuladas:
 - $u_1 = f_1$: força de empuxo do motor 1
 - $u_2 = f_2$: força de empuxo do motor 2
- Variáveis controladas:
 - $y_1 = x_1$

$$\begin{aligned}\dot{\mathbf{x}}(t) &= \underbrace{\begin{bmatrix} 0 & 1 \\ -c/a & -b/a \end{bmatrix}}_A \mathbf{x}(t) + \underbrace{\begin{bmatrix} 0 & 0 \\ L_1/a & -L_2/a \end{bmatrix}}_B \mathbf{u}(t) \\ \mathbf{y}(t) &= \underbrace{\begin{bmatrix} 1 & 0 \end{bmatrix}}_C \mathbf{x}(t)\end{aligned}\tag{3}$$

em que

$A \in R^{2 \times 2}$ - Matriz dos estados
 $B \in R^{2 \times 2}$ - Matriz das entradas
 $C \in R^{1 \times 2}$ - Matriz das saídas

2.1.2 Modelo no espaço de estados a tempo discreto

Discretizando-se o sistema (3) por meio do método segurador de ordem zero (ZOH) para um período de amostragem T_s , é possível escrever

$$\begin{aligned}\mathbf{x}(k+1) &= \Phi \mathbf{x}(k) + \Gamma \mathbf{u}(k) \\ \mathbf{y}(k) &= C \mathbf{x}(k)\end{aligned}\tag{4}$$

2.1.3 Lei de controle

A ação de controle é dada por

$$\mathbf{u}(k) = \mathbf{u}_{\text{mpc}}(k)\tag{5}$$

sendo

$$\mathbf{u}_{\text{mpc}}(k) = \mathbf{u}_{\text{mpc}}(k-1) + \Delta \mathbf{u}(k)\tag{6}$$

Em que $\Delta \mathbf{u}(k)$ denota o incremento de controle entre os instantes $k-1$ e k .

O termo $\Delta \mathbf{u}(k)$ é obtida minimizando a seguinte função de custo:

$$\mathbf{J}(k) = \sum_{i=1}^N ([\hat{\mathbf{y}}(k+i|k) - y_{ref}]^T Q [\hat{\mathbf{y}}(k+i|k) - y_{ref}]) + \sum_{i=1}^M ([\Delta \hat{\mathbf{u}}(k+i-1|k)]^T R [\Delta \hat{\mathbf{u}}(k+i-1|k)])\tag{7}$$

em que

$y_{ref} \in \mathbb{R}$ - Referência;
 $N \in \mathbb{R}$ - Horizonte de predição;

$M \in \mathbb{R}$ - Horizonte de controle;
 $Q \in \mathbb{R}_*^n$ - Matriz de peso simétrica das variáveis controladas ($Q = \mu_1$);
 $R \in \mathbb{R}_*^{2 \times 2}$ - Matriz de peso simétrica das variáveis manipuladas ($R = \text{diag}(\rho_1, \rho_2)$);
 $\Delta \hat{\mathbf{u}}, \hat{\mathbf{y}}(k+i|k)$ - Variáveis preditas no instante $k+i$, com base nas informações disponíveis no instante k .

Assume-se matrizes de peso invariantes no tempo, além de que $\Delta \hat{\mathbf{u}}(k+i-1|k) = 0$ para $i = M+1, M+2, \dots, N$.

2.1.4 Equações de predição

Predição para o estado até N passos a frente.

$$\hat{\mathbf{x}}(k+1|k) = \Phi \mathbf{x}(k) + \Gamma \hat{\mathbf{u}}_{\text{mpc}}(k|k) \quad (8)$$

$$\begin{aligned} \hat{\mathbf{x}}(k+2|k) &= \Phi \hat{\mathbf{x}}(k+1|k) + \Gamma \hat{\mathbf{u}}_{\text{mpc}}(k+1|k) \\ &= \Phi[\Phi \mathbf{x}(k) + \Gamma \hat{\mathbf{u}}_{\text{mpc}}(k|k)] + \Gamma \hat{\mathbf{u}}_{\text{mpc}}(k+1|k) \\ &= \Phi^2 \mathbf{x}(k) + \Phi \Gamma \hat{\mathbf{u}}_{\text{mpc}}(k|k) + \Gamma \hat{\mathbf{u}}_{\text{mpc}}(k+1|k) \end{aligned} \quad (9)$$

$$\hat{\mathbf{x}}(k+3|k) = \Phi^3 \mathbf{x}(k) + \Phi^2 \Gamma \hat{\mathbf{u}}_{\text{mpc}}(k|k) + \Phi \Gamma \hat{\mathbf{u}}_{\text{mpc}}(k+1|k) + \Gamma \hat{\mathbf{u}}_{\text{mpc}}(k+2|k) \quad (10)$$

$$\hat{\mathbf{x}}(k+N|k) = \Phi^N \mathbf{x}(k) + \Phi^{N-1} \Gamma \hat{\mathbf{u}}_{\text{mpc}}(k|k) + \Phi^{N-2} \Gamma \hat{\mathbf{u}}_{\text{mpc}}(k+1|k) + \dots + \Gamma \hat{\mathbf{u}}_{\text{mpc}}(k+N-1|k) \quad (11)$$

Organizadas no formato matricial, as equações de (8) a (11) obtemos:

$$\underbrace{\begin{bmatrix} \hat{\mathbf{x}}(k+1|k) \\ \hat{\mathbf{x}}(k+2|k) \\ \vdots \\ \hat{\mathbf{x}}(k+N|k) \end{bmatrix}}_{\hat{\mathbf{X}}}_{N \times 1} = \underbrace{\begin{bmatrix} \Phi \\ \Phi^2 \\ \vdots \\ \Phi^N \end{bmatrix}}_{P_x}_{2N \times 2} \mathbf{x}(k) + \underbrace{\begin{bmatrix} \Gamma & 0 & \dots & 0 \\ \Phi \Gamma & \Gamma & \dots & 0 \\ \vdots & \vdots & \ddots & \vdots \\ \Phi^{N-1} \Gamma & \Phi^{N-2} \Gamma & \dots & \Gamma \end{bmatrix}}_{H_x}_{2N \times 2N} \underbrace{\begin{bmatrix} \hat{\mathbf{u}}_{\text{mpc}}(k|k) \\ \hat{\mathbf{u}}_{\text{mpc}}(k+1|k) \\ \vdots \\ \hat{\mathbf{u}}_{\text{mpc}}(k+N-1|k) \end{bmatrix}}_{\hat{\mathbf{U}}}_{N \times 1}$$

Resumidamente,

$$\hat{\mathbf{X}} = P_x \mathbf{x}(k) + H_x \hat{\mathbf{U}} \quad (12)$$

De maneira similar define-se

$$\underbrace{\begin{bmatrix} \hat{\mathbf{y}}(k+1|k) \\ \hat{\mathbf{y}}(k+2|k) \\ \vdots \\ \hat{\mathbf{y}}(k+N|k) \end{bmatrix}}_{\hat{\mathbf{Y}}}_{N \times 1} = \underbrace{\begin{bmatrix} C\Phi \\ C\Phi^2 \\ \vdots \\ C\Phi^N \end{bmatrix}}_{f_u}_{N \times 2} \mathbf{x}(k) + \underbrace{\begin{bmatrix} C\Gamma & 0 & \dots & 0 \\ C\Phi \Gamma & C\Gamma & \dots & 0 \\ \vdots & \vdots & \ddots & \vdots \\ C\Phi^{N-1} \Gamma & C\Phi^{N-2} \Gamma & \dots & \Gamma \end{bmatrix}}_{H}_{N \times 2N} \underbrace{\begin{bmatrix} \hat{\mathbf{u}}_{\text{mpc}}(k|k) \\ \hat{\mathbf{u}}_{\text{mpc}}(k+1|k) \\ \vdots \\ \hat{\mathbf{u}}_{\text{mpc}}(k+N-1|k) \end{bmatrix}}_{\hat{\mathbf{U}}}_{N \times 1}$$

$$\hat{\mathbf{Y}} = f_u + H \hat{\mathbf{U}} \quad (13)$$

2.1.5 Formulação em termos de incremento da entrada $\Delta \mathbf{u}$

Definindo um vetor de estados artificial da forma:

$$\xi(k) = \begin{bmatrix} \mathbf{x}(k) \\ \mathbf{u}_{\text{mpc}}(k-1) \end{bmatrix}_{4 \times 1} \quad (14)$$

A partir de (4), (6) e (14) pode-se definir um modelo artificial em termos do incremento de controle:

$$\begin{aligned} \xi(k+1) &= \begin{bmatrix} \mathbf{x}(k+1) \\ \mathbf{u}_{\text{mpc}}(k) \end{bmatrix}_{4 \times 1} = \underbrace{\begin{bmatrix} \Phi & \Gamma \\ 0_{2 \times 2} & I_2 \end{bmatrix}}_{\tilde{A}} \begin{bmatrix} \mathbf{x}(k) \\ \mathbf{u}_{\text{mpc}}(k-1) \end{bmatrix}_{4 \times 1} + \underbrace{\begin{bmatrix} \Gamma \\ I_2 \end{bmatrix}}_{\tilde{B}} \Delta \mathbf{u}(k) \\ \mathbf{y}(k) &= \underbrace{\begin{bmatrix} C & 0_{1 \times 2} \end{bmatrix}}_{\tilde{C}} \begin{bmatrix} \mathbf{x}(k) \\ \mathbf{u}_{\text{mpc}}(k-1) \end{bmatrix}_{4 \times 1} \end{aligned}$$

Portanto,

$$\begin{aligned} \xi(k+1) &= \tilde{A}\xi(k) + \tilde{B}\Delta \mathbf{u}(k) \\ \mathbf{y}(k) &= \tilde{C}\xi(k) \end{aligned} \quad (15)$$

Note que ao reescrever o sistema em termos de incremento do controle, colocam-se integradores (auto-valores sobre o círculo unitário) na matriz dinâmica do sistema (\tilde{A}), isso resulta na eliminação do erro de regime estacionário para referências constantes.

Por fim, reformulando (13) a partir do modelo artificial (15) obtemos:

$$\hat{\mathbf{Y}} = f + G\Delta \hat{\mathbf{U}} \quad (16)$$

em que

$$G = \begin{bmatrix} \tilde{C}\tilde{B} & 0 & \dots & 0 \\ \tilde{C}\tilde{A}\tilde{B} & \tilde{C}\tilde{B} & \dots & 0 \\ \vdots & \vdots & \ddots & \vdots \\ \tilde{C}\tilde{A}^{N-1}\tilde{B} & \tilde{C}\tilde{A}^{N-2}\tilde{B} & \dots & \tilde{C}\tilde{A}^{N-M}\tilde{B} \end{bmatrix}_{N \times 2M}, \quad f = \phi\xi(k), \quad \phi = \begin{bmatrix} \tilde{C}\tilde{A} \\ \tilde{C}\tilde{A}^2 \\ \vdots \\ \tilde{C}\tilde{A}^N \end{bmatrix}_{2N \times 2}$$

Lembrando que $\Delta \hat{\mathbf{u}}(k+i-1) = 0$ para $i = M+1, M+2, \dots, N$, portanto suprimem-se as últimas $(N-M)p$ colunas de G .

2.1.6 Reescrevendo a função de custo somente em termos de $\Delta \hat{\mathbf{u}}$

A função de custo (7) pode ser escrita na seguinte forma matricial:

$$\mathbf{J}(k) = (\hat{\mathbf{Y}} - \mathbf{r})^T \mathbf{Q}_N (\hat{\mathbf{Y}} - \mathbf{r}) + \Delta \hat{\mathbf{U}}^T \mathbf{R}_M \Delta \hat{\mathbf{U}} \quad (17)$$

sendo

$$\mathbf{r} = [y_{ref}]_N, \quad \mathbf{Q}_N = \text{diag}([Q]_N), \quad \mathbf{R}_M = \text{diag}([R]_M)$$

Substituindo (16) em (17), tem-se que

$$\begin{aligned}
\mathbf{J}(k) &= (f + G\Delta\hat{\mathbf{U}} - \mathbf{r})^T \mathbf{Q}_N (f + G\Delta\hat{\mathbf{U}} - \mathbf{r}) + \Delta\hat{\mathbf{U}}^T \mathbf{R}_M \Delta\hat{\mathbf{U}} \\
&= \Delta\hat{\mathbf{U}}^T G^T \mathbf{Q}_N G \Delta\hat{\mathbf{U}} + 2(f - \mathbf{r})^T \mathbf{Q}_N (G\Delta\hat{\mathbf{U}}) + (f - \mathbf{r})^T \mathbf{Q}_N (f - \mathbf{r}) + \Delta\hat{\mathbf{U}}^T \mathbf{R}_M \Delta\hat{\mathbf{U}} \\
&= \Delta\hat{\mathbf{U}}^T (G^T \mathbf{Q}_N G + \mathbf{R}_M) \Delta\hat{\mathbf{U}} + 2(f - \mathbf{r})^T \mathbf{Q}_N G \Delta\hat{\mathbf{U}} + (f - \mathbf{r})^T \mathbf{Q}_N (f - \mathbf{r})
\end{aligned}$$

Resumidamente:

$$\mathbf{J}(k) = \frac{1}{2} \Delta\hat{\mathbf{U}}^T H_{qp} \Delta\hat{\mathbf{U}} + f_{qp}^T \Delta\hat{\mathbf{U}} + cte \quad (18)$$

com

$$H_{qp} = 2(G^T \mathbf{Q}_N G + \mathbf{R}_M), \quad f_{qp} = 2(f - \mathbf{r})^T \mathbf{Q}_N G^T, \quad cte = (f - \mathbf{r})^T \mathbf{Q}_N (f - \mathbf{r})$$

2.1.7 Restrições

- Restrições sobre os incrementos de controle $\Delta\mathbf{u}$

$$\Delta u_{min} \leq \Delta\hat{\mathbf{u}}(k + i - 1|k) \leq \Delta u_{max}, \quad i = 1, 2, \dots, M$$

Na forma matricial,

$$\begin{bmatrix} \Delta u_{min} \\ \Delta u_{min} \\ \vdots \\ \Delta u_{min} \end{bmatrix}_{2M \times 1} \leq \begin{bmatrix} \Delta\hat{\mathbf{u}}(k|k) \\ \Delta\hat{\mathbf{u}}(k+1|k) \\ \vdots \\ \Delta\hat{\mathbf{u}}(k+M-1|k) \end{bmatrix}_{2M \times 1} \leq \begin{bmatrix} \Delta u_{max} \\ \Delta u_{max} \\ \vdots \\ \Delta u_{max} \end{bmatrix}_{2M \times 1}$$

De forma resumida,

$$[\Delta u_{min}]_M \leq \Delta\hat{\mathbf{U}} \leq [\Delta u_{max}]_M \quad (19)$$

Reescrevendo as inequações (19) de maneira diferentes,

$$\begin{cases} \Delta\hat{\mathbf{U}} \leq [\Delta u_{max}]_M \\ -\Delta\hat{\mathbf{U}} \leq -[\Delta u_{min}]_M \end{cases}$$

Na forma matricial,

$$\begin{bmatrix} I_{2M} \\ -I_{2M} \end{bmatrix}_{4M \times 2M} \Delta\hat{\mathbf{U}} \leq \begin{bmatrix} [\Delta u_{max}]_M \\ -[\Delta u_{min}]_M \end{bmatrix}_{4M \times 1} \quad (20)$$

- Restrições sobre a excursão dos controles \mathbf{u}_{mpc}

$$\begin{aligned}
u_{min} &\leq \hat{\mathbf{u}}_{mpc}(k + i - 1|k) \leq u_{max}, \quad i = 1, 2, \dots, M \\
[u_{min}]_M &\leq \hat{\mathbf{U}} \leq [u_{max}]_M
\end{aligned} \quad (21)$$

Obtém-se a relação entre $\hat{\mathbf{u}}_{mpc}$ e $\Delta\hat{\mathbf{u}}$ expandindo (6).

$$\begin{bmatrix} \hat{\mathbf{u}}_{mpc}(k|k) \\ \hat{\mathbf{u}}_{mpc}(k+1|k) \\ \vdots \\ \hat{\mathbf{u}}_{mpc}(k+M-1|k) \end{bmatrix}_{2M \times 1} = \begin{bmatrix} \mathbf{u}_{mpc}(k-1) \\ \mathbf{u}_{mpc}(k-1) \\ \vdots \\ \mathbf{u}_{mpc}(k-1) \end{bmatrix}_{2M \times 1} + \begin{bmatrix} \Delta\hat{\mathbf{u}}(k|k) \\ \Delta\hat{\mathbf{u}}(k|k) + \Delta\hat{\mathbf{u}}(k+1|k) \\ \vdots \\ \Delta\hat{\mathbf{u}}(k|k) + \Delta\hat{\mathbf{u}}(k+1|k) + \dots + \Delta\hat{\mathbf{u}}(k+M-1|k) \end{bmatrix}_{2M \times 1}$$

De forma simplificada,

$$\hat{\mathbf{U}} = [\mathbf{u}_{\text{mpc}}(k-1)]_M + T_M^{I_2} \Delta \hat{\mathbf{U}} \quad (22)$$

Portanto substituindo (22) em (21),

$$[u_{\min}]_M \leq [\mathbf{u}_{\text{mpc}}(k-1)]_M + T_M^{I_2} \Delta \hat{\mathbf{U}} \leq [u_{\max}]_M$$

Reescrevendo,

$$\begin{cases} T_M^{I_2} \Delta \hat{\mathbf{U}} \leq [u_{\max} - \mathbf{u}_{\text{mpc}}(k-1)]_M \\ T_M^{I_2} \Delta \hat{\mathbf{U}} \leq [\mathbf{u}_{\text{mpc}}(k-1) - u_{\min}]_M \end{cases}$$

Na forma matricial,

$$\begin{bmatrix} T_M^{I_2} \\ -T_M^{I_2} \end{bmatrix}_{4M \times 2M} \Delta \hat{\mathbf{U}} \leq \begin{bmatrix} [u_{\max} - \mathbf{u}_{\text{mpc}}(k-1)]_M \\ [\mathbf{u}_{\text{mpc}}(k-1) - u_{\min}]_M \end{bmatrix}_{4M \times 1} \quad (23)$$

Reescrevendo (20) e (23) em uma única matriz obtemos:

$$A_{qp} \Delta \hat{\mathbf{U}} \leq b_{qp} \quad (24)$$

em que

$$A_{qp} = \begin{bmatrix} I_{2M} \\ -I_{2M} \\ T_M^{I_2} \\ -T_M^{I_2} \end{bmatrix}_{8M \times 2M}, \quad b_{qp} = \begin{bmatrix} [\Delta u_{\max}]_M \\ -[\Delta u_{\min}]_M \\ [u_{\max} - \mathbf{u}_{\text{mpc}}(k-1)]_M \\ [\mathbf{u}_{\text{mpc}}(k-1) - u_{\min}]_M \end{bmatrix}_{8M \times 1}$$

2.1.8 Problema de otimização

O problema de otimização a ser resolvido em cada instante de amostragem é dado por

$$\min_{\Delta \hat{\mathbf{u}}} \mathbf{J}(k) = \frac{1}{2} \Delta \hat{\mathbf{U}}^T H_{qp} \Delta \hat{\mathbf{U}} + f_{qp}^T \Delta \hat{\mathbf{U}} + cte$$

Sujeito a

$$A_{qp} \Delta \hat{\mathbf{U}} \leq b_{qp}$$

A solução desse problema é um vetor $\Delta \hat{\mathbf{u}}^*$ que corresponde a $k+M$ incrementos de controles ótimos iniciando no instante k .

Vale notar que a variação de controle a ser aplicada em (6) corresponde ao primeiro elemento do vetor $\Delta \hat{\mathbf{u}}^*$

3 Simulações e sugestões para implementação

Todas as simulações foram feitas considerando ruídos de medida de posição de ± 0.025 rad de velocidade com dispersão de ± 0.14 rad/s, além disso também adotou-se um atraso de transporte de 0.01 segundos para um período de amostragem de 0.02 segundos.

3.1 MPC

Parâmetros de ajuste

$$\begin{aligned}Q &= 2 \\R &= 7 \cdot \text{diag}([1, 1]) \\N &= 5 \\M &= 3\end{aligned}$$

Restrições,

$$\begin{aligned}uMax &= 1.319/13.43 \cdot [10; 10] \\uMin &= -uMax \\duMax &= 0.8 \cdot 2/9 \cdot [5.2; 5.2] \\duMin &= 0.8 \cdot 2/9 \cdot [-4; -4]\end{aligned}$$

3.1.1 Implementação em C++

Junto deste documento esta anexo o arquivo.rar contendo os arquivos necessários para simulação em C++.

Para bom funcionamento da rotina sera necessário a inclusão de 3 bibliotecas open source no compilador, sendo essas: *Armadillo*, *boost* e *qpOASES*.

Caso a compilação seja feita via terminal Linux, basta utilizar o comando *make* e *make run*.

Feita a compilação sera gerado um arquivo *data.txt* onde estarão disponíveis os dados da simulação em colunas seguindo a seguinte ordem: Período(*k*)[1], saída(*y*)[2], saída medida(*ym*)[3], ação de controle em PWM(*w*)[4-5], estados(*x*)[6-11], ação de controle em força(*u*)[12-13], incremento de controle(*du*)[14-15], tempo de cpu para calcular a ação de controle[15].

Caso seja utilizada a biblioteca *gnuplot* para plotagem, há no arquivo *plotMPC.txt* comandos para plotagem adequadas dos dados, que pode ser feita utilizando o comando `<load "plotMPC.txt">` no terminal do *gnuplot*.

Vale ressaltar que se utilizado um IDE é necessário a adição dos arquivos *libMPC.h* e *matrizesMPC.cpp* no projeto tendo o arquivo *simAtitudeMPC.cpp* como rotina principal.

3.1.2 Resultados

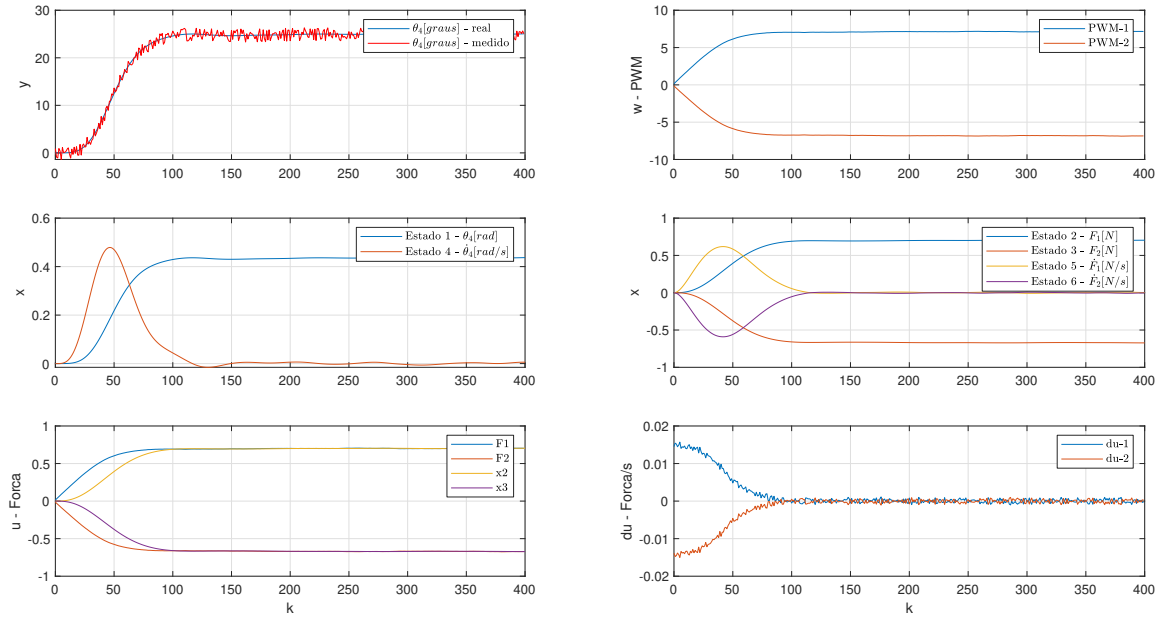


Figure 1: Resultado para referência em 25° .

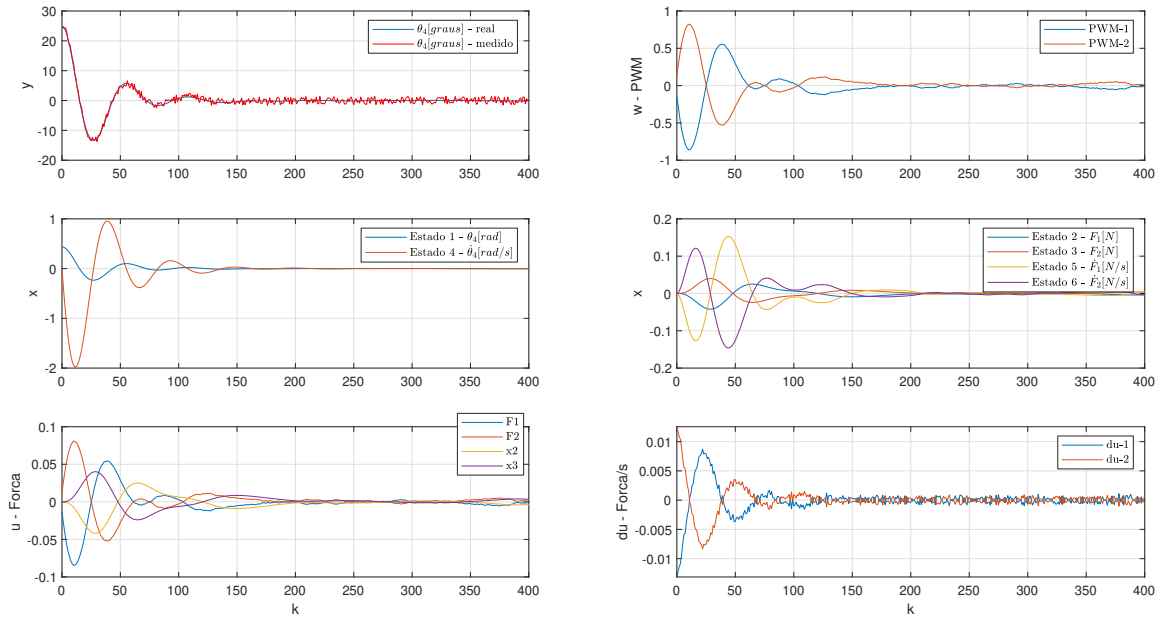


Figure 2: Resultado para referência em 0° e condição inicial de 25° .